

Journal of Natural Environmental Hazards, Vol.11, Issue 31, Spring 2022

## Presenting an integrated spatial-based model for flood hazard zoning, a case study: Maneh and Samalqan County

Parham Pahlavani<sup>1\*</sup>, Mohamad Hasanloo<sup>2</sup>, Behnaz Bigdeli<sup>3</sup>, Seyed Ahmad Eslaminezhad<sup>4</sup>

1. Corresponding Author, Assistant Professor at School of Surveying and Geospatial Engineering, University of Tehran, Iran.
2. GIS M.Sc., School of Surveying and Geospatial Engineering, University of Tehran, Iran.
3. Assistant Professor at School of Civil Engineering, Shahrood University of Technology, Iran.
4. GIS M.Sc., School of Surveying and Geospatial Engineering, University of Tehran, Iran.

---

### Article Info

### ABSTRACT

**Article type:**

Research Article

**Article history:**

**Received:** 06 November 2020

**Revised:** 15 April 2021

**Accepted:** 12 May 2021

**Keywords:**

Flood hazard zoning,

Geographically weighted regression,

Binary Particle Swarm Optimization.

Due to the increase in the occurrence of floods, especially in the cities, and the emergence of human, financial, and environmental risks due to its increase, the flood zoning areas are of great importance. Therefore, in this study, it was tried zoning the areas of floods with the help of determining effective criteria. The criteria used in this research include Modified Fournier Index, Topographic Position Index, Curve Number, Flow Accumulation, Slope, Digital elevation model, Topographic Wetness Index, Vertical Overland Flow Distance, Horizontal Overland Flow Distance, and Normalized difference vegetation index. The novelty of this study is to present a new combination approach to determine the effective criteria in flood hazard zoning (Maneh and Samalqan County). In this regard, the combination of geographically weighted regression (Gaussian and tri-cube kernels) and binary particle swarm optimization algorithm was used. The recommended combination method is suitable for spatial regression problems because it is compatible with two unique properties of spatial data, i.e. spatial autocorrelation and spatial non-stationarity. The best value of the fitness function ( $1-R^2$ ) for Gaussian and tri-cube kernels were obtained 0.0745 and 0.0022, respectively, which indicates higher compatibility of the tri-cube kernel than the Gaussian kernel. It was also found that the criteria used have a significant effect on the rate of flooding in the study area.

---

**Cite this article:** Pahlavani, P., Hasanloo, M., Bigdeli, B., Eslaminezhad, S. (2022). Presenting an integrated spatial-based model for flood hazard zoning, a case study: Maneh and Samalqan County. Journal of Natural Environmental Hazards, 11(31), 173 -192. DOI: 10.22111/jneh.2021.36392.1724



© The Author(s).

DOI: 10.22111/jneh.2021.36392.1724

Publisher: University of Sistan and Baluchestan

---

\* Corresponding Author Email: pahlavani@ut.ac.ir

مجله علمی پژوهشی مخاطرات محیط طبیعی، دوره یازدهم، شماره ۳۱، بهار ۱۴۰۱

## ارائه مدل ترکیبی مکان‌بنا جهت پنهان‌بندی خطر سیلاب (منطقه مورد مطالعه: شهرستان مانه و سملقان)

پرهام پهلوانی<sup>۱\*</sup>، محمد حسنلو<sup>۲</sup>، بهناز بیگدلی<sup>۳</sup>، سید احمد اسلامی نژاد<sup>۴</sup>

- استادیار دانشکده مهندسی نقشه‌برداری و اطلاعات مکانی، دانشگاه تهران (نویسنده مسئول)
- کارشناسی ارشد مهندسی سیستم‌های اطلاعات مکانی، دانشکده مهندسی نقشه‌برداری و اطلاعات مکانی، دانشگاه تهران
- استادیار دانشکده مهندسی عمران، دانشگاه صنعتی شاهرود
- کارشناسی ارشد مهندسی سیستم‌های اطلاعات مکانی، دانشکده مهندسی نقشه‌برداری و اطلاعات مکانی، دانشگاه تهران

اطلاعات مقاله	چکیده
نوع مقاله: مقاله پژوهشی	باتوجه به بالارفتن وقوع سیلاب بهویژه در سطح شهرها و به وجود آمدن خطرهای جانی، مالی و محیط‌زیستی ناشی از افزایش آن، پنهان‌بندی مناطق سیل خیز از اهمیت بالایی برخوردار است. بنابراین در این پژوهش سعی شد مناطق وقوع سیلاب به کمک تعیین معیارهای مؤثر پنهان‌بندی شود. معیارهای مورد استفاده در این پژوهش شامل شاخص فورنیه اصلاح شده، شاخص موقعیت توپوگرافی، منحنی رواناب، جریان تجمعی، شبیب، مدل رقومی ارتفاعی، شاخص رطوبت توپوگرافی، فاصله قائم تا رواناب، فاصله افقی تا رواناب و شاخص نرمال شده تفاوت پوشش گیاهی است. نوآوری این مطالعه، ارائه روش ترکیبی جدید برای تعیین معیارهای مؤثر در پنهان‌بندی خطر سیل (شهرستان مانه و سملقان) است. در این راستا از ترکیب رگرسیون وزن دار جغرافیایی (هسته‌های گوسین و مکعبی سه‌گانه) و الگوریتم بهینه‌سازی از دحام ذرات گستینه استفاده گردید. روش ترکیبی پیشنهادی مناسب برای مسائل رگرسیون مکانی است؛ زیرا این روش با دو خواص منحصر به فرد داده‌های مکانی یعنی خودهمبستگی مکانی و نایستایی مکانی سازگار است. بهترین مقدار تابع برازش ( $R^2$ ) برای هسته‌های گوسین و مکعبی سه‌گانه به ترتیب ۰/۰۷۴۵ و ۰/۰۰۲۲ به دست آمد که نشان‌دهنده سازگاری بالای هسته مکعبی سه‌گانه نسبت به هسته گوسین با معیارهای مؤثر است. هم‌چنین مشخص شد که معیارهای به کاربرده شده تأثیر قابل توجهی بر میزان سیل خیزی در منطقه مورد مطالعه دارند.
تاریخ دریافت: ۱۳۹۹/۰۸/۱۶	تاریخ ویرایش: ۱۴۰۰/۰۱/۲۶
تاریخ پذیرش: ۱۴۰۰/۰۲/۲۲	
واژه‌های کلیدی:	پنهان‌بندی خطر سیلاب، رگرسیون وزن دار جغرافیایی، الگوریتم بهینه‌سازی ابتوه ذرات گستینه.

استناد: پهلوانی، پرهام، حسنلو، محمد، بیگدلی، بهناز، اسلامی نژاد، سید احمد. (۱۴۰۱). ارائه مدل ترکیبی مکان‌بنا جهت پنهان‌بندی خطر سیلاب منطقه مورد مطالعه: شهرستان مانه و سملقان. *مخاطرات محیط طبیعی*, ۱۱(۳۱)، ۱۷۳-۱۹۲. DOI: 10.22111/jneh.2021.36392.1724



© پرهام پهلوانی، محمد حسنلو، بهناز بیگدلی، سید احمد اسلامی نژاد.

ناشر: دانشگاه سیستان و بلوچستان

## مقدمه

یکی از تعاریف جامع واژه سیل را می‌توان بهاین ترتیب ذکر نمود که هر جریان سطحی آب صرف‌نظر از معیار ایجاد‌کننده آن در صورتی سیل تلقی می‌گردد که جریان آب در مقطع خاصی از رودخانه بیش از جریان عادی باشد، تداوم زمانی آن محدود باشد و جریان آب از بستر طبیعی خود تجاوز کند (شریفی پیچون و همکاران، ۱۳۹۸). سیل در حقیقت افزایش ارتفاع آب رودخانه و مسیل و بیرون‌زدن آب از آن و اشغال بخشی از دشت‌های حاشیه رودخانه می‌باشد که می‌تواند با غرقاب‌نمودن منطقه باعث واردآمدن خسارت‌های عمومی شده و تلفات انسانی و غیرانسانی به همراه داشته باشد (پاپایوانو<sup>۱</sup> و همکاران، ۲۰۱۵). در مواردی نیز سیل می‌تواند ناشی از افزایش سطح آب دریاچه و یا دریا باشد که در این موارد جریان بادهای شدید تأثیر زیادی خواهد داشت. در هنگام بارش باران و برف، مقداری از آب جذب خاک و گیاهان می‌شود، درصدی تبخیر می‌گردد و باقیمانده جاری شده و رواناب نامیده می‌شود. سیلاب زمانی روی می‌دهد که خاک و گیاهان نتوانند بارش را جذب نموده و در نتیجه کانال طبیعی رودخانه کشش گذردهی رواناب ایجادشده را ندادسته باشد (عفیفی، ۱۳۹۸). با توجه به افزایش وقوع سیل بهویژه در سطح شهرها و به وجودآمدن خطرهای جانی، مالی و محیط‌زیستی ناشی از آن، شناسایی معیارهای مؤثر بر وقوع سیل از اهمیت بالایی برخوردار می‌باشد. از این‌رو با شناسایی این معیارها می‌توانیم در جهت پیشگیری هرچه بیشتر این پدیده با استفاده از آموزش عمومی به مردم، وضع قوانین و سیاست‌های مدیریتی کارآمد و نظارت بیشتر در جهت مقابله با معیارهای محرك افزایش میزان سیل برآییم. یکی از روش‌ها برای تهیه نقشه پهنه‌بندی سیلاب، استفاده از سیستم اطلاعات مکانی و تلفیق آن با مدل‌های هیدرولیکی است. نقشه‌های پهنه‌بندی سیلاب در مطالعات مدیریت دشت‌های سیلابی کاربرد وسیعی دارد. از موارد کاربرد این نقشه‌ها می‌توان به تعیین بستر و حریم رودخانه‌ها، مطالعه و توجیه اقتصادی طرح‌های عمرانی، پیش‌بینی و هشدار سیل، عملیات امداد و نجات و بیمه سیل اشاره نمود (هادسون<sup>۲</sup> و بوتن<sup>۳</sup>، ۲۰۱۹؛ پورقاسمی<sup>۴</sup> و همکاران، ۲۰۲۰، محمودزاده و باکویی، ۱۳۹۷). سطح مناطق سیل خیز کشور حدود ۹۱ میلیون هکتار برآورد گردیده است. به عبارتی ۵۵ درصد از سطح کشور در تولید رواناب مستقیم و سریع نقش داشته که حدود ۲۲ میلیون هکتار آن دارای شدت سیل خیز متوسط تا خیلی زیاد است (روستایی و همکاران، ۱۳۹۶). بنابراین ایران جزء مناطق سیل خیز جهان است و یکی از راههای کاهش خسارت ناشی از سیل تهیه نقشه‌های پهنه‌بندی خطر سیلاب هست تا بدین وسیله مناطق مستعد شناسایی گردد. همچنین تهیه این نقشه‌ها می‌تواند محوری جهت فعالیت‌های عمرانی و سایر فعالیت‌های آتی باشد. با توجه به پژوهش پیشین، پهنه‌بندی سیلاب توسط روش‌های ادغام در دو دسته کلی دانش‌محور و داده‌محور قابل دسته‌بندی می‌باشند (گوئوارا<sup>۵</sup> و همکاران، ۲۰۱۸؛ وانگ<sup>۶</sup> و لیو<sup>۷</sup>، ۲۰۱۹). روش‌های داده‌محور در مناطق شناخته‌شده یا مناطقی که از لحاظ آماری تعداد شواهد شناخته‌شده کافی می‌باشند، کارآبی بالایی دارند. در این روش‌ها هدف مشخص‌کردن مکان‌های جدید برای کارهای تفصیلی‌تر است، در حالی که در روش‌های دانش‌محور در محیط‌های که کمتر شناخته شده‌اند و یا تعداد کمی از اهداف موردنظر در

<sup>1</sup> Papaioannou

<sup>2</sup> Hudson

<sup>3</sup> Botzen

<sup>4</sup> Pourghasemi

<sup>5</sup> Guevara

<sup>6</sup> Wang

<sup>7</sup> Liu

محدوده وجود دارند، کارآمد هستند. تخمین وزن‌ها برای نقشه‌های شاهد و تخمین کلاس‌ها در هر نقشه شاهد بر اساس قضاوت کارشناس و با توجه به ویژگی‌های نشانه‌ها است که در تمام موارد تصمیم‌گیری قابل اجرا هستند و نیازی به وجود شواهدی از جواب ندارند (گوئوارا<sup>۱</sup> و همکاران، ۲۰۱۸؛ وانگ<sup>۲</sup> و لیو<sup>۳</sup>، ۲۰۱۹). مطالعات متعددی در خصوص پهنه‌بندی خطر سیلاب با رویکردهای مبتنی بر روش‌های ادغام دانش محور و داده‌محور صورت پذیرفته که می‌توان به مواردی چند اشاره نمود. زهرا فیضی و همکاران (۱۳۹۵) هفت معیار شیب، نفوذپذیری سطحی، قابلیت انتقال آب در آبرفت، کیفیت آبرفت، کاربری اراضی، حجم رواناب و ضخامت منطقه تهویه را به عنوان معیارهای مؤثر در مکان‌یابی مناطق مستعد پخش سیلاب و تغذیه مصنوعی جنوب دشت کاشان در نظر گرفتند. پس از تهیه لایه‌های رقومی موردنظر، با استفاده از روش فرآیند سلسه‌مراتبی فازی (FAHP<sup>۴</sup>) وزن هر کدام از معیارها تعیین گردید. درنهایت نقشه‌های وزن‌دار حاصل و با یکدیگر ادغام شد. شیاو<sup>۵</sup> و همکاران (۲۰۱۷) یک چارچوب تجزیه و تحلیل چندمعیاره با استفاده از سیستم اطلاعات جغرافیایی (GIS<sup>۶</sup>)، روش FAHP<sup>۷</sup> و روش میانگین وزن‌دار مرتبه یافته (OWA<sup>۸</sup>) برای ارزیابی خطر سیلاب تهیه کردند. اهمیت نسبی معیارها با روش FAHP تعیین شد. روش OWA برای تحلیل اثرات نگرش‌های مختلف ریسک گیرنده تصمیم‌گیرنده بر نتایج ارزیابی استفاده کردند. روش میانگین محاسبه شده را با استفاده از مزایای متغیر فضایی متغیر در محیط GIS برای ادغام معیارها اجرا کردند. کنعانی سادات<sup>۹</sup> و همکاران (۲۰۱۹) چارچوبی را برای تهیه نقشه‌های مناطق مستعد سیلاب استان کردستان با ادغام GIS، منطق فازی و تصمیم‌گیری چندمعیاره ارائه دادند. برای دستیابی به این هدف مجموعه‌ای از معیارهای ژئوفیزیکی، ژئومورفولوژیکی، هواشناسی، هیدرولوژیکی و جغرافیایی را موردنرسی قرار دادند. سپس با درنظر گرفتن عدم قطعیت و ابهام نظرات خبرگان، نظریه فازی را با<sup>۱۰</sup> DEMATEL ادغام کردند. درنهایت، فرآیند تحلیل شبکه‌ای (ANP<sup>۱۱</sup>) را برای محاسبه وزن نهایی هر یک از معیارها به کار گرفتند. جهت ارزیابی نقشه آسیب‌پذیری سیل در منطقه موردمطالعه، نقشه حوادث تاریخی سیلاب را در استان کردستان مورداستفاده قرار دادند. حدود ۸۵٪ از مساحت اعتبارسنجی تحت عنوان "وقوع سیلاب بسیار زیاد" طبقه‌بندی شدند که به کارایی چارچوب پیشنهادی اشاره داشت. علاوه بر این، برای ارزیابی عملکرد چارچوب پیشنهادی در مقایسه با رویکردهای سنتی، روش AHP نیز پیاده‌سازی گردید. نتایج اعتبارسنجی نشان داد که مدل ANP-DEMATEL فازی دقیق‌تر عملکرد بالاتری در مقایسه با مدل AHP داشت. آردینسیا<sup>۱۲</sup> و سامونار<sup>۱۳</sup> (۲۰۲۰) از روش‌های وزن‌دهی و امتیازدهی (بر اساس کمی یا کیفی بودن معیارهای مؤثر بر سیلاب) امتیازی را برای هر کدام از کلاس‌های (محدوده‌های) تعریف شده معیار مؤثر و وزنی را برای معیار مؤثر در نظر گرفتند. درنهایت وزن‌ها و امتیازهای تخصیص داده شده به معیارهای مؤثر، جهت شناسایی

<sup>1</sup> Guevara<sup>2</sup> Wang<sup>3</sup> Liu<sup>4</sup> Analytical Hierarchy process<sup>5</sup> Xiao<sup>6</sup> Geographic information system<sup>7</sup> Ordered weighted averaging<sup>8</sup> Kanani-Sadat<sup>9</sup> Decision making trial and evaluation laboratory<sup>10</sup> Analytic Network Process<sup>11</sup> Ardiansyah<sup>12</sup> Sumunar

مناطق آسیب‌پذیر وقوع سیلاب وارد تحلیل همپوشانی شدند. نتایج این مطالعه نشان داد که سه سطح آسیب‌پذیری سیل یعنی سطح آسیب‌پذیری سیل کم برابر با  $338/34$  هکتار، سطح آسیب‌پذیری سیل متوسط برابر با  $4595/62$  هکتار و سطح آسیب‌پذیری سیل زیاد برابر با  $0/76$  هکتار در حوضه آبخیز منطقه موردمطالعه وجود دارد. خسروی و همکاران (۱۳۹۵) پس از تهیه  $10$  معیار مؤثر در وقوع سیل که شامل شبی، انحنای زمین، طبقات ارتفاعی، فاصله از رودخانه، شاخص رطوبت، توپوگرافی، شاخص توان آبراهه، بارندگی و کاربری اراضی از رگرسیون لجستیک جهت تهیه نقشه وقوع سیل استفاده کردند. نتیجه نشان داد که رگرسیون لجستیک دارای صحت قابل قبول جهت تهیه نقشه حساسیت به وقوع سیل می‌باشد. همچنین مشخص گردید که طبق مدل رگرسیون لجستیک، مهم‌ترین معیارهای مؤثر در وقوع سیل به ترتیب شاخص رطوبت توپوگرافی، انحنای زمین و شبی می‌باشند. قوامی و محمدی‌نیا (۱۳۹۶) به پیش‌بینی مکانی مناطق سیل خیز استان گیلان (پربارش‌ترین استان کشور) با استفاده از سیستم اطلاعات مکانی و هفت معیار دما، رطوبت، بارش، ارتفاع، شبی، پوشش گیاهی و فاصله از رودخانه پرداختند. از این‌رو آن‌ها از دو روش رگرسیون خطی و رگرسیون وزن دار جغرافیایی استفاده کردند و مشخص گردید که رگرسیون وزن دار جغرافیایی دقیق‌تری در پیش‌بینی مناطق سیل خیز دارد. شفایپور<sup>۱</sup> و همکاران (۲۰۱۷) جهت تهیه نقشه حساسیت وقوع سیلاب در بالاتری در پیش‌بینی مناطق سیل خیز دارد. شفایپور<sup>۱</sup> و همکاران (۲۰۱۷) جهت تهیه نقشه حساسیت وقوع سیلاب در کشور چین از روش‌های رگرسیون لجستیک، روش وزن شواهد ( $WOE^2$ ) استفاده کردند. نتیجه نشان داد که روش  $WOE$  رگرسیون لجستیک، روش دقیق‌تری را در راستای پیش‌بینی مناطق مستعد سیلاب ارائه می‌دهد. پهن‌بندی خطر سیلاب موضوعی است که تاکنون زیاد بدان پرداخته شده است؛ اما در میان مطالعات صورت‌پذیرفته، نکاتی وجود دارد که کمتر بدان توجه شده است. اول این که در هیچ یک از این مطالعات ترکیب مناسب و کافی از معیارها برای پهن‌بندی خطر سیلاب درنظر گرفته نشده است. دوم این که تحلیل مناسبی برای تعیین ترکیب بهینه معیارهای مؤثر و تهیه نقشه پهن‌بندی خطر سیلاب بر اساس تأثیرات معیارهای مؤثر به کار برد نشده است. بنابراین در این پژوهش سعی شد تا ضمن برطرف کردن کاستی‌های مطالعات پیشین، به معرفی رویکرد ترکیبی مناسبی جهت تهیه نقشه پهن‌بندی خطر سیلاب بر مبنای تعیین ترکیب بهینه معیارهای مؤثر پرداخته شود که نوآوری این پژوهش نیز می‌باشد. به عبارت دیگر، این پژوهش به دنبال پاسخ به این سؤال می‌باشد که چه مدل مناسبی می‌توان برای پهن‌بندی خطر سیلاب شهرستان مانه و سملقان بر مبنای تعیین ترکیب بهینه معیارهای مؤثر ارائه داد؟ این شهرستان از مناطق حادثه‌خیز سیل در کشور ایران به شمار می‌رود که در چندین سال اخیر، وقوع سیل خسارت‌های فراوانی را به زیرساخت‌های این منطقه وارد کرده است.

## داده‌ها و روش‌ها

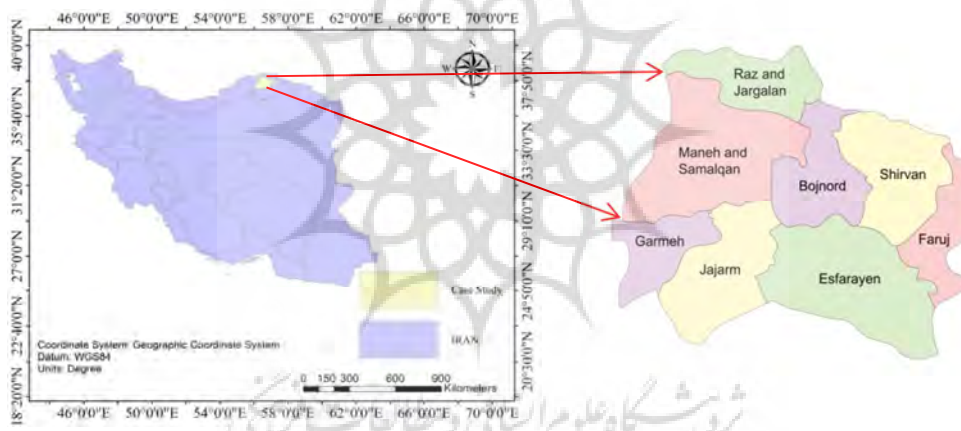
### معرفی منطقه موردمطالعه

شهرستان مانه و سملقان در شمال غربی استان خراسان شمالی قرار دارد که از شمال با شهرستان راز و جرگلان، از غرب به استان گلستان، از جنوب به شهرستان‌های جاجرم و گرمه و از شرق به بجنورد محدود گردیده است. این شهرستان دارای  $8$  کیلومتر مرز مشترک با کشور ترکمنستان می‌باشد. از لحاظ موقعیت جغرافیایی این شهرستان بین

<sup>1</sup> Shafapour

<sup>2</sup> Weight of Evidence

مدار جغرافیایی ۳۷ درجه و ۱۷ دقیقه تا ۳۸ درجه و ۷ دقیقه عرض شمالی از خط استوا و ۵۵ درجه و ۵۹ دقیقه تا ۵۷ درجه و ۱۷ دقیقه طول شرقی از نصف‌النهار گرینویچ واقع شده است. شهرستان مانه و سملقان دارای ۶۰۵۳ کیلومترمربع وسعت است. این شهرستان به‌طورکلی دارای پستی و بلندی‌های متنوعی است. این شهرستان در ناحیه اقلیمی خشک و نیمه‌خشک واقع شده و توزیع مکانی و زمانی بارش باران در این منطقه نیز کاملاً متغیر و نیمه یکنواخت است، به گونه‌ای که اغلب بارش‌ها در استان در فصل سرد و مرطوب رخ می‌دهد و این شرایط، ضرایب سیل خیزی و فرسایش‌پذیری خاک در شهرستان مانه و سملقان را افزایش داده است. هم‌چنین وجود شیب‌های تند، بهره‌برداری برخی معادن شن و ماسه از مسیل‌ها و عدم وجود پوشش گیاهی و درخت از جمله موارد دیگری هستند که موجب به وجود آمدن سیلاب در چند سال اخیر در این منطقه شده است و سالیانه خسارت‌های مالی و جانی فراوانی را بر جای گذاشته است. شبکه هیدروگرافی در سطح شهرستان مانه و سملقان شامل رودخانه‌های فصلی و دائمی بوده که جزء حوضه آبریز اترک است. این رودخانه‌ها از ارتفاعات خارج از شهرستان سرچشمه گرفته و مسیر خود را بر اساس شیب عمومی طی می‌کند. شکل (۱) محدوده شهرستان مانه و سملقان را نشان می‌دهد.



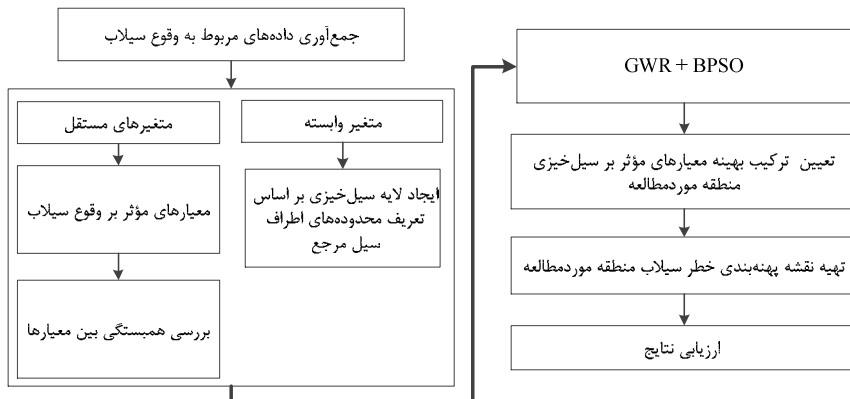
شکل ۱: محدوده منطقه مطالعاتی

### روش‌های داده‌محور و معیارهای مکانی مؤثر بر سیلاب

در این بخش معیارهای مکانی مؤثر بر سیلاب، رگرسیون وزن دار جغرافیایی<sup>(۱)</sup> (GWR) و الگوریتم بهینه‌سازی انبوه ذرات گسسته (BPSO<sup>۲</sup>) بررسی شده است. در شکل (۲) فلوچارت روش پیشنهادی پژوهش نشان داده شده است.

<sup>1</sup> Geographically weighted regression

<sup>2</sup> Binary Swarm Particle Optimization



شکل ۲: فلوچارت روش پیشنهادی پژوهش

### الف- معیارهای مکانی مؤثر بر سیلاب

پهن‌بندی سیلاب وابسته به معیارهای مختلف می‌باشد که در این پژوهش از معیارهای زیر استفاده شده است:

#### \* فاصله افقی تا رواناب:

فاصله افقی تا رواناب، جایه‌جایی واقعی آب از یک سلول به سلول دیگر است. هرچه فاصله افقی از جریان کم باشد، پتانسیل ایجاد سیلاب بیشتر خواهد بود (کنعانی سادات و همکاران، ۲۰۱۹؛ پورقاسمی و همکاران، ۲۰۲۰).

#### \* شاخص پوشش گیاهی:

این شاخص برآورد کننده معیار پوشش گیاهی است. هر چه مقدارش کمتر باشد، خطرپذیری بیشتر سیلاب را به همراه دارد که از رابطه (۱) به دست می‌آید (خسروی<sup>۱</sup> و همکاران، ۲۰۱۶):

$$NDVI = \frac{NIR - R}{NIR + R} \quad (1)$$

که  $NIR$  باند مادون قرمز نزدیک و  $R$  باند قرمز تصاویر ماهواره‌ای است.

#### \* فاصله قائم تا رواناب:

فاصله قائم تا رواناب، بیانگر فاصله قائم بین ارتفاع هر سلول و ارتفاع محاسبه شده برای شبکه جریان می‌باشد. هرچه فاصله قائم از جریان کم باشد، پتانسیل ایجاد سیلاب بیشتر خواهد بود (کنعانی سادات و همکاران، ۲۰۱۹؛ پورقاسمی و همکاران، ۲۰۲۰).

#### \* شاخص رطوبت توپوگرافی:

شاخص رطوبت توپوگرافی ابزاری مفید و رایج برای توصیف شرایط رطوبتی در مقیاس حوضه می‌باشد. این معیار هر چه مقدارش کمتر باشد، خطرپذیری بیشتر سیلاب را به همراه دارد که طبق رابطه (۲) به دست می‌آید (جانسیوکر<sup>۲</sup> و همکاران، ۲۰۱۹):

<sup>1</sup> Khosravi

<sup>2</sup> Jancewicz

$$TWI = \ln\left(\frac{A_s}{\tan\beta}\right) \quad (2)$$

که،  $A_s$  مساحت حوزه بالادست و  $\beta$  زاویه شیب است.

#### \* مدل رقومی ارتفاعی:

مدل رقومی ارتفاع دربرگیرنده مقادیر معرف ارتفاع سطح زمین می‌باشد. این معیار هر چه مقدارش کمتر باشد، خطرپذیری بیشتر سیلاب را به همراه دارد (پاپایوانو و همکاران، ۲۰۱۵؛ هادسون و بوتنز، ۲۰۱۹).

\* شیب:

وجود شیب‌های زیاد نشان می‌دهد که منطقه موردنظر از اراضی مسطح کمتری برخوردار است که این امر می‌تواند در صورت وقوع باران‌های شدید، سبب بروز سیلاب‌های مخرب گردد که طبق رابطه (۳) و شکل (۳) بدست می‌آید (پاپایوانو و همکاران، ۲۰۱۵):

$$Slope = \text{atan}\left(\sqrt{\left(\frac{dz}{dx}\right)^2 + \left(\frac{dz}{dy}\right)^2}\right) \quad (3)$$

$$[dz/dx] = ((c + 2f + i) - (a + 2d + g)) / 8$$

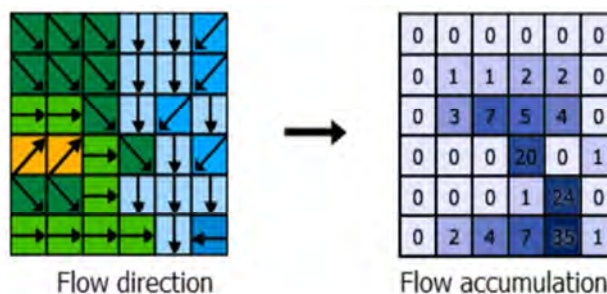
$$[dz/dy] = ((g + 2h + i) - (a + 2b + c)) / 8$$



شکل ۳: نحوه محاسبه شیب (پاپایوانو<sup>۱</sup> و همکاران، ۲۰۱۵)

#### \* جریان تجمعی:

شبکه تجمع جریان، دربرگیرنده تعداد تجمعی سلول‌های بالادست یک سلول است و میزان جریانی که از سلول‌های بالادستی به آن سلول ختم می‌شود را نشان می‌دهند. طبق شکل (۴) هر چه مقدار این معیار بیشتر باشد، پتانسیل ایجاد سیلاب بیشتر خواهد بود.



شکل ۴: نحوه محاسبه جریان تجمعی (وجتك<sup>۱</sup> و وجتكوا<sup>۲</sup>، ۲۰۱۹)

<sup>1</sup> Papaioannou

## \* منحنی رواناب:

پتانسیل رواناب حوزه را تعریف می‌کند. این معیار هر چه مقدارش بیشتر باشد خطرپذیری بیشتر سیلاب را به همراه دارد. این معیار از رابطه (۴) به دست می‌آید (اینی<sup>۳</sup> و همکاران، ۲۰۲۰):

$$CN = \frac{R}{p} \quad (4)$$

که  $R$  ارتفاع رواناب مستقیم و  $P$  ارتفاع بارندگی است.

## \* شاخص موقعیت توپوگرافی (TPI):

شاخص موقعیت توپوگرافی، اختلاف ارتفاع هر سلول با میانگین ارتفاعات سلول‌های همسایه آن را نشان می‌دهد. این معیار هر چه مقدارش کمتر باشد، خطرپذیری بیشتر سیلاب را به همراه دارد که طبق رابطه (۵) به دست می‌آید (آلام<sup>۴</sup> و همکاران، ۲۰۲۰):

$$TPI = Z_0 - \frac{\sum_{i=1}^n Z_i}{n} \quad (5)$$

که  $Z_0$  ارتفاع سلول موردنظر و  $\frac{\sum_{i=1}^n Z_i}{n}$  میانگین ارتفاع سلول‌های همسایه است.

## \* شاخص فورنیه اصلاح شده (MFI):

نقشه شدت بارندگی با استفاده از روش شاخص فورنیه اصلاح شده ایجاد می‌شود. این معیار هر چه مقدارش بیشتر باشد، خطرپذیری بیشتر سیلاب را به همراه دارد که طبق رابطه (۶) به دست می‌آید (سا-رکیوحو<sup>۵</sup> و همکاران، ۲۰۱۹):

$$MFI = \frac{\sum_{i=1}^n p_i^2}{p} \quad (6)$$

که  $p_i$  میانگین بارندگی برای ماه  $i$  و  $p$  میانگین بارندگی سالیانه است.

## ب- رگرسیون وزن دار جغرافیایی (GWR):

باتوجه به اینکه داده‌های مکانی دارای ویژگی‌های خودهمبستگی مکانی و نایستایی مکانی هستند، از این‌رو کمتر می‌توان از رگرسیون‌های پایه استفاده کرد (مارای<sup>۶</sup> و همکاران، ۲۰۲۰). در روش GWR، وابستگی‌های مکانی مشاهدات به صورت ماتریس‌های وزن دار در نظر گرفته می‌شوند و به دلیل ناهمگونی محیط وجود نایستایی مکانی، ضرایب رگرسیون به صورت محلی به دست می‌آیند (وو<sup>۷</sup>، ۲۰۲۰). معادله روش GWR از رابطه (۷) محاسبه می‌گردد (فادرینگام<sup>۸</sup> و اوشان<sup>۹</sup>، ۲۰۱۶):

<sup>1</sup> Vojtek

<sup>2</sup> Vojteková

<sup>3</sup> Eini

<sup>4</sup> Alam

<sup>5</sup> Saa-Requejo

<sup>6</sup> Murray

<sup>7</sup> Wu

<sup>8</sup> Fotheringham

<sup>9</sup> Oshan

$$y_i = \sum_{j=1}^n \beta_j (u_{ij} v_i) x_j + \varepsilon_i \quad (7)$$

که  $y_i$  متغیر وابسته (میزان سیل خیزی)،  $x_j$  متغیرهای مستقل (معیارهای مؤثر بر وقوع سیلاب)،  $n$  تعداد متغیرهای مستقل (تعداد نقاط تصادفی تعریف شده در منطقه)،  $v_i$  باقیمانده مدل و  $\beta_j$  ضرایب رگرسیون هستند. در این روش، جهت محاسبه ماتریس وزن مکانی نیاز به مشخص کردنتابع هسته است. بر اساس نتایج پژوهش‌های پیشین، در این پژوهش از دو هسته گوسین و مکعبی سه‌گانه استفاده شد که از روابط (۸) و (۹) محاسبه می‌شود (فادرینگام و اوشان، ۲۰۱۶؛ اوشان و همکاران، ۲۰۱۹):

$$W(u_{ij} v_i) = \varphi\left(\frac{d_{ij}}{b}\right) \quad (8)$$

$$W(u_{ij} v_i) = \begin{cases} (1 - (\frac{d_{ij}}{b})^3)^3 & |d_{ij}| < b \\ 0 & \text{Otherwise} \end{cases} \quad (9)$$

که  $d_{ij}$  فاصله اقلیدسی بین دو نقطه  $i$  و  $j$ ،  $\varphi$  تابع توزیع نرمال استاندارد و  $b$  پهنه‌ای باند است. در روش GWR تغییرهای محلی و نایستایی مکانی ضرایب توسط انحراف استاندارد از رابطه (۱۰) به دست می‌آید (وو، ۲۰۲۰):

$$v_j = \sqrt{\sum_{i=1}^n (\beta_{ij} - \bar{\beta}_j)^2 / n} \quad (10)$$

که  $\beta_{ij}$  ضریب رگرسیون عامل زام در مشاهده  $i$  ام،  $\bar{\beta}_j$  میانگین ضریب رگرسیون عامل زام در کل مشاهدات و  $n$  تعداد مشاهدات است. خروجی GWR شامل پارامترهای متعددی است که از آن میان معمولاً پارامتر ضریب تشخیص  $R^2$  برای سنجش مناسبت برآش مدل و پارامتر خطای جذر میانگین مربعات (<sup>۱</sup>) جهت سنجش توزیع باقیماندهای مدل به کار می‌رود که به ترتیب، طبق روابط (۱۱) و (۱۲) محاسبه می‌شوند (فادرینگام و اوشان، ۲۰۱۶):

$$R^2 = 1 - \frac{\sum_{i=1}^n (y_i - \hat{y}_i)^2}{\sum_{i=1}^n (y_i - \bar{y})^2} \quad (11)$$

$$RMSE = \sqrt{\frac{1}{n} \sum_{i=1}^n (y_i - \hat{y}_i)^2} \quad (12)$$

که  $n$  تعداد مشاهدات،  $y_i$  مشاهده  $i$  ام،  $\hat{y}_i$  مقدار پیش‌بینی شده مشاهده  $i$  ام و  $\bar{y}$  میانگین مشاهدات است.

#### ج- الگوریتم بهینه‌سازی انبوه ذرات گسسته (BPSO):

الگوریتم بهینه‌سازی ازدحام ذرات (PSO) یک الگوریتم جستجوی جمعی است که از روی رفتار اجتماعی دسته‌های پرندگان و ماهی‌ها مدل شده است (آقباشلو<sup>۲</sup> و همکاران، ۲۰۱۹). الگوریتم PSO یک الگوریتم بهینه‌سازی تصادفی

<sup>۱</sup> Root Mean Square Error

<sup>۲</sup> Aghbashlo

مبتنی بر جمعیت است که باعث می‌شود کمتر در مینیمم محلی گرفتار شود (عبد<sup>۱</sup> و احمد<sup>۲</sup>، ۲۰۲۰). در این الگوریتم کیفیت جواب مسیر پیشنهادی به جمعیت اولیه وابسته نیست و با شروع از هر نقطه در فضای جستجو، جواب مسئله به جواب بهینه همگرا می‌شود (عبد و احمد، ۲۰۲۰). بنابراین با توجه به فضای مسئله، این الگوریتم می‌تواند در دو حالت پیوسته و گسسته تعريف شود. با توجه به هدف این پژوهش از الگوریتم بهینه‌سازی ازدحام ذرات گسسته (BPSO) استفاده شده است. در حالت گسسته این الگوریتم ذرات به داشتن متغیرهای صفر و یک محدود می‌شوند که بردار سرعت و موقعیت ذرات از طریق روابط (۱۳) و (۱۴) به روزرسانی می‌شوند (بهشتی، <sup>۳</sup>، ۲۰۲۰):

$$V_i(t+1) = wV_i(t) + c_1r_1(Pbest - X_i(t)) + c_2r_2(Gbest - X_i(t)) \quad (13)$$

$$X_i(t+1) = \begin{cases} 1 & \text{if } \rho \leq \frac{1}{1 + e^{-V_i(t+1)}} \\ 0 & \text{Otherwise} \end{cases} \quad (14)$$

در روابط (۲۳) و (۲۴)  $V_i(t)$  سرعت ذره  $i$  ام،  $X_i(t)$  موقعیت ذره  $i$  ام،  $V_i(t+1)$  سرعت ذره  $i$  ام در موقعیت بعدی،  $(1)X_i(t+1)$  موقعیت ذره  $i$  ام در موقعیت بعدی،  $Pbest$  بهترین موقعیت تجربه شده برای ذره  $i$  ام،  $Gbest$  بهترین موقعیت تجربه شده در کل ذرات،  $c_1$  ضریب یادگیری شخصی،  $c_2$  ضریب یادگیری جمعی،  $w$  وزن داخلی و  $r_1$  و  $r_2$  و  $\rho$  اعداد تصادفی در محدوده  $[0, 1]$  هستند. مراحل الگوریتم BPSO به شرح ذیل است (بهشتی، ۲۰۲۰):

۱- در ابتدا مقداردهی اولیه ذرات صورت می‌گیرد.

۲- سپس ذرات از نظر تابع برازنده‌گی مورد بررسی و ارزیابی قرار می‌گیرند.

۳- در مرحله سوم، بهترین موقعیت شخصی و سراسری برای هر ذره شناسایی می‌شود.

۴- سپس سرعت و موقعیت ذرات به روزرسانی می‌شود.

در مرحله آخر، شرایط خاتمه بررسی می‌گردد. در غیر این صورت مراحل ۲ تا ۴ ادامه پیدا می‌کند تا اینکه مسئله به همگرایی برسد.

## نتایج و بحث

معیارهای مستقل مورداستفاده در این پژوهش شامل ده معیار جریان تجمعی، فاصله افقی تا رواناب، شاخص فورنیه اصلاح شده، شاخص نرمال شده تفاوت پوشش گیاهی، شب، شاخص موقعیت توپوگرافی، شاخص رطوبت توپوگرافی، فاصله قائم تا رواناب، مدل رقومی ارتفاعی و منحنی رواناب می‌باشد که به عنوان متغیرهای مستقل در روش GWR در نظر گرفته می‌شود. این داده‌ها مربوط به ماه خرداد سال ۱۳۹۶ می‌باشند که از سازمان جنگل‌ها و مرتع کشور اخذ شده است. جهت پیاده‌سازی، هر کدام از معیارها در قالب نقشه رستری با اندازه پیکسل ۳۰ متر تولید شد که نقشه هر کدام از این معیارها در شکل (۵) به صورت نرمال شده نشان داده شده است. از این‌رو به منظور تهیه لایه DEM از تصاویر<sup>۴</sup> SRTM استفاده شد. همچنین از باند ۴ و ۵ تصاویر لنdest ۸ جهت تولید لایه NDVI استفاده گردید. به-

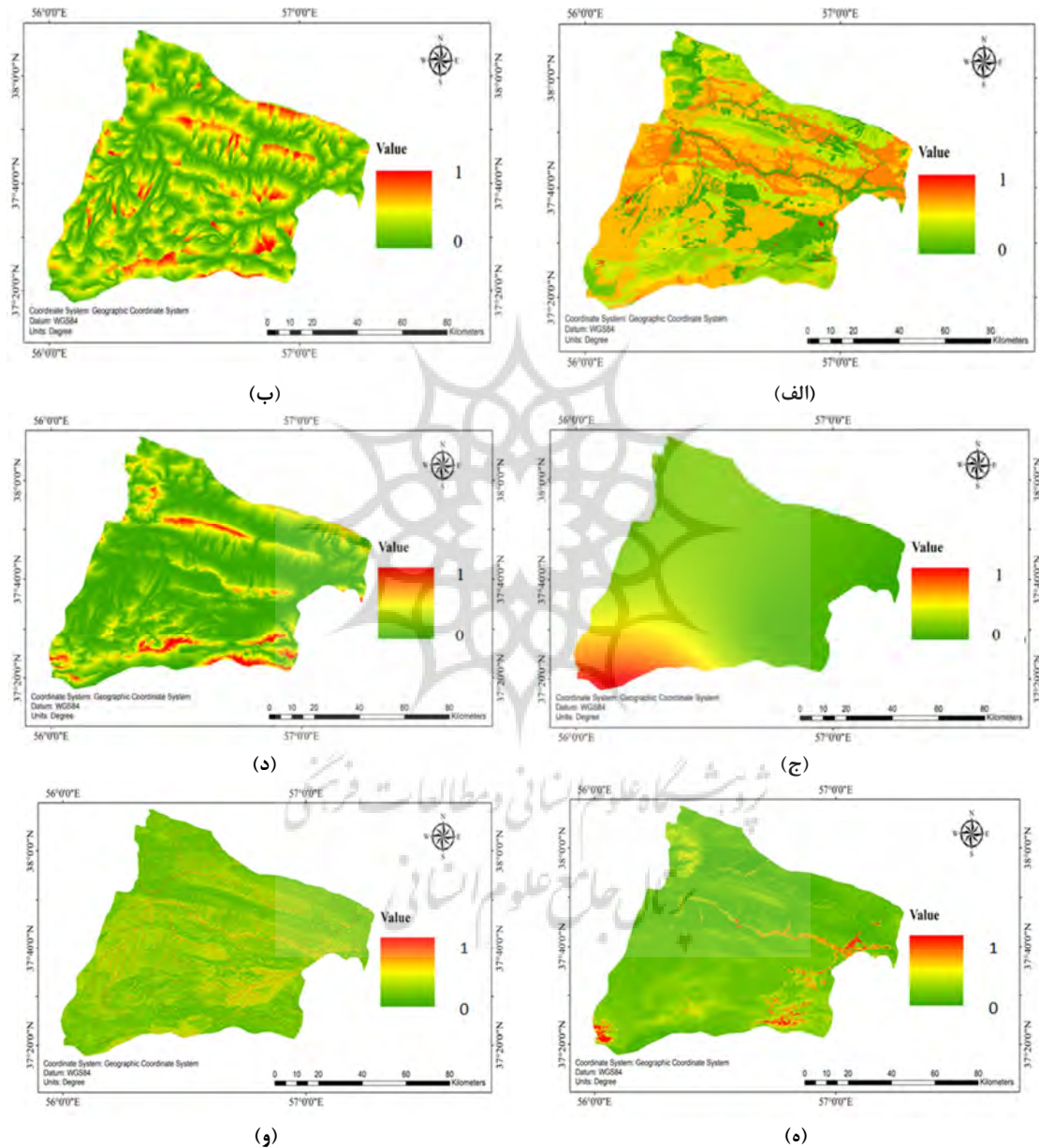
<sup>1</sup> Abed

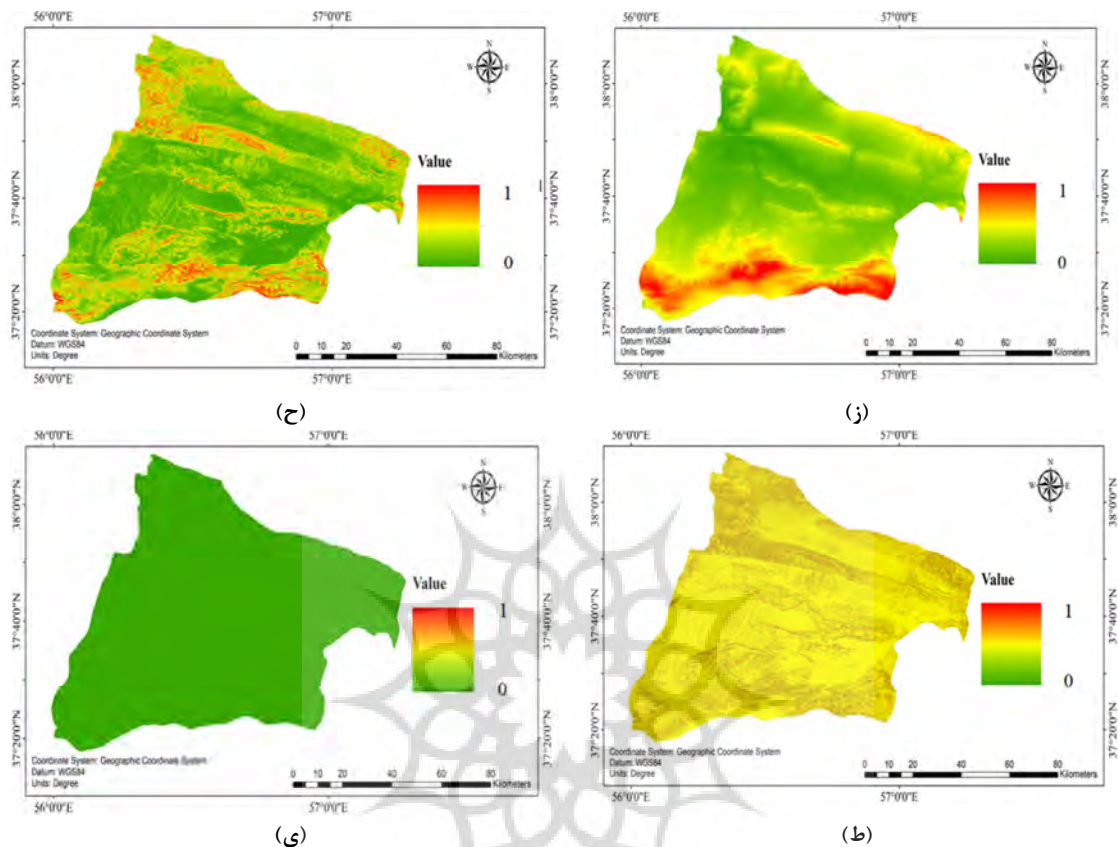
<sup>2</sup> Ahmad

<sup>3</sup> Beheshti

<sup>4</sup> Shuttle Radar Topography Mission

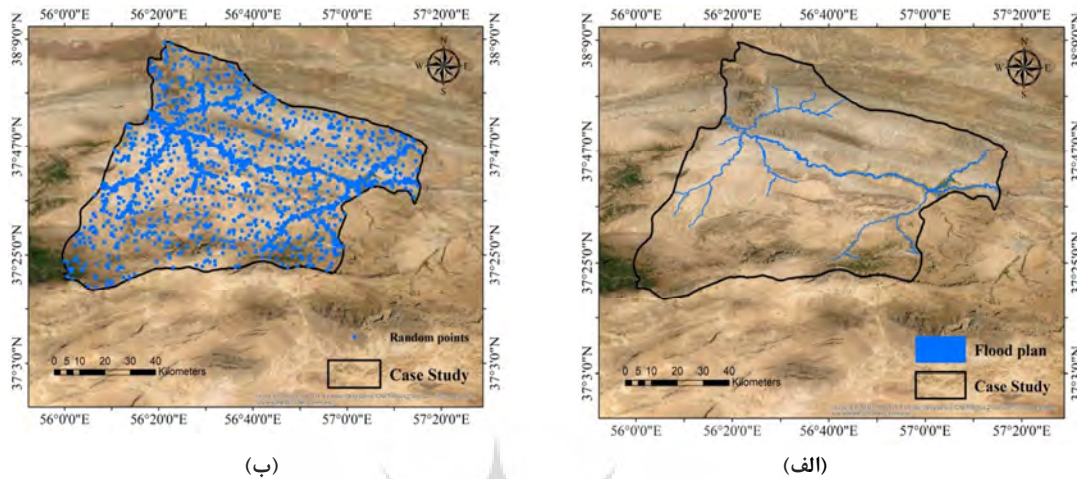
منظور محاسبه مقدار MFI، شش ایستگاه سینوپتیک به کار برده شدند. لایه CN نیز از سازمان جنگل‌ها و مراتع کشور تهیه شد. سایر لایه‌ها به کمک تحلیل‌های مناسب در نرم‌افزار Arc Map و SAGA GIS ایجاد شدند.





شکل ۵: برخی از معیارهای به کاربرده شده در منطقه مورد مطالعه (الف) منحنی رواناب (ب) فاصله افقی تا رواناب (ج) شاخص فورنیه اصلاح شده (د) فاصله قائم تا رواناب (ه) شاخص نرمال شده تفاوت پوشش گیاهی (و) شاخص رطوبت توپوگرافی (ز) مدل رقومی ارتفاعی (ح) شبیه (ط) شاخص موقعیت توپوگرافی (ی) جریان تجمعی

جهت پیاده‌سازی روش‌های پیشنهادی، نیاز به تولید نقاط پراکنده در منطقه موردنظر است. از این‌رو، بر اساس تحلیل محدوده‌هایی اطراف نقشه مرجع سیلاب (شکل ۶ (الف)، جدول (۱)) تعریف شد. سیلاب حاصل از نقشه مرجع مربوط به خرداد سال ۱۳۹۶ می‌باشد که از سازمان جنگل‌ها و مراتع کشور اخذ شده است. سپس طبق شکل (۶-ب)، ۲۰۰۰ نقطه به صورت تصادفی و یکتواخت در منطقه مورد مطالعه تولید شد. از بین ۲۰۰۰ نقطه تصادفی ایجاد شده در منطقه مورد مطالعه، ۱۰۰۰ نقطه خارج از محدوده نقشه مرجع سیلاب و محدوده‌های تعریف شده اطراف آن و ۱۰۰۰ نقطه در داخل محدوده نقشه مرجع سیلاب و محدوده‌های تعریف شده اطراف آن می‌باشد. سپس مقادیر تمامی معیارهای اطلاعاتی موجود (متغیرهای مستقل و وابسته) برای این نقاط محاسبه (به صورت نرمال شده) گردید. از این تعداد نقاط ۷۰٪ برای آموزش و ۳۰٪ برای آزمایش به صورت تصادفی انتخاب و به صورت یکسان برای تمامی روش‌ها مورد استفاده قرار گرفت. مدل ترکیبی این پژوهش در محیط برنامه‌نویسی Matlab 2015 پیاده‌سازی و اجرا گردید و جهت نمایش خروجی نقشه‌ها از نرم‌افزار Arc Map 10.5 استفاده شد.



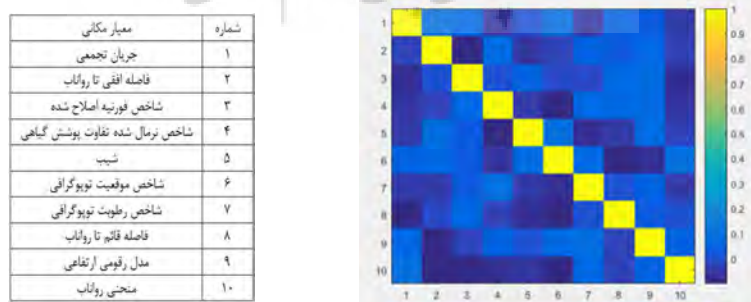
شکل ۶: (الف) نقشه مرجع سیلاب (ب) نقاط تصادفی ایجادشده

جدول (۱)، نحوه تعریف (امتیازدهی) متغیر وابسته (میزان سیل خیزی) را بر اساس محدوده‌های تعریف شده در اطراف نقشه مرجع سیلاب نشان داده شده است (آردینسیا<sup>۱</sup> و سامونار<sup>۲</sup>، ۲۰۲۰).

جدول ۱: تعریف متغیر وابسته بر اساس محدوده‌های تعریف شده

موقعیت مکانی نقاط تصادفی ایجادشده	محدوده نقشه مرجع	۱۰۰ متر	۲۰۰ متر	۳۰۰ متر	۴۰۰ متر	خارج محدوده
مقدار امتیاز لحظه- شده	۱	۰/۸	۰/۶	۰/۴	۰/۲	•

پیش از اجرای الگوریتم‌ها، ابتدا همبستگی بین داده‌ها بررسی گردید. شکل (۷) ماتریس همبستگی (همبستگی پیرسون) معیارهای مکانی وقوع سیلاب را نشان می‌دهد (هوتاھائین، ۲۰۱۹). مقادیر ضریب همبستگی بین معیارها بین اعداد ۰ و ۱ به دست آمد که نشان از عدم همبستگی بین معیارها مورداستفاده می‌باشد. بنابراین از تمام معیارها در الگوریتم‌ها استفاده گردید.



شکل ۷: ماتریس همبستگی متغیرهای مستقل

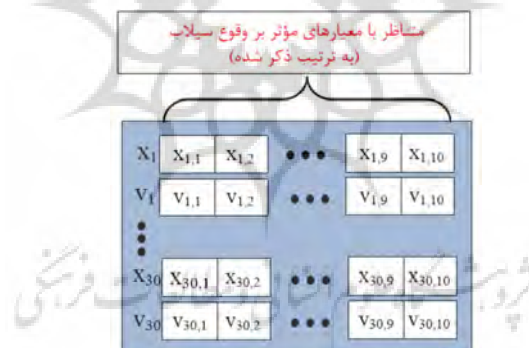
<sup>1</sup> Ardiansyah<sup>2</sup> Sumunar<sup>3</sup> Hutahaean

باتوجه به اینکه یکی از مهمترین پارامترهای ارزیابی روش‌های چندمعیاره، پارامتر ضریب تشخیص  $R^2$  است، از این‌رو تابع برآذش الگوریتم<sup>۱</sup> BPSO، کمینه‌کردن مقدار  $R^2 - 1$  انتخاب شده است تا میزان سازگاری مدل با معیارهای مؤثر بر وقوع سیل بررسی شود (فادرینگام<sup>۲</sup> و اوشان<sup>۳</sup>، ۲۰۱۶). طبق جدول (۲) مقادیر بهینه پارامترهای اولیه الگوریتم BPSO، بر اساس روش سعی و خطا انتخاب شد. شرط توقف جهت ساده‌سازی روند پیاده‌سازی، تعداد اجرای خاص در نظر گرفته شده است.

جدول ۲: پارامترهای مورد استفاده در الگوریتم BPSO

پارامتر	مقدار
اندازه ذرات	۳۰
تعداد اجرا (شرط خاتمه)	۱۰۰
ضریب یادگیری شخصی و جمعی	۲
وزن داخلی	۱
بیشترین و کمترین سرعت	[-۴،۴]

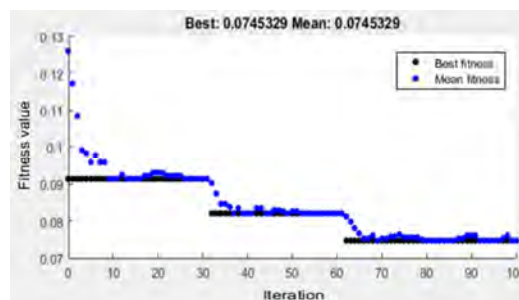
شکل (۸)، ساختار ازدحام الگوریتم BPSO را نشان می‌دهد که معیارهای ذکر شده در شکل (۷)، به ترتیب ابعاد آن را تشکیل می‌دهند.



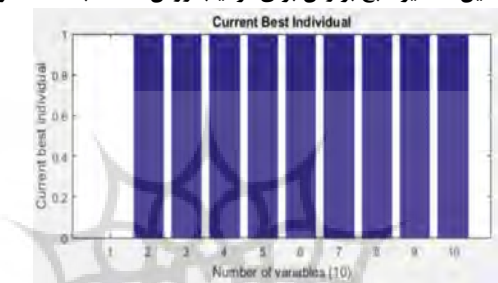
شکل ۸: ساختار ازدحام الگوریتم BPSO در این تحقیق

پس از اجرای الگوریتم GWR با هسته گوسین، بهترین مقدار تابع برآذش برابر با  $0.0745 \pm 0.0000$  بدست آمد و ۹ معیار فاصله افقی تا رواناب، شاخص فورانیه اصلاح شده، شاخص نرمال شده تفاوت پوشش گیاهی، شب، شاخص موقعیت توپوگرافی، شاخص رطوبت توپوگرافی، فاصله قائم تا رواناب، مدل رقومی ارتفاعی و منحنی رواناب به عنوان معیارهای مؤثر بر سیل خیزی شناخته شد. شکل‌های (۹) و (۱۰) نتایج حاصل از ترکیب روش GWR با هسته گوسین و الگوریتم BPSO را نشان می‌دهد.

<sup>1</sup> Binary particle swarm optimization<sup>2</sup> Fotheringham<sup>3</sup> Oshan



شکل ۹: بهترین مقدار و میانگین مقادیرتابع برآش برای ترکیب روش GWR با هسته گوسین و الگوریتم BPSO

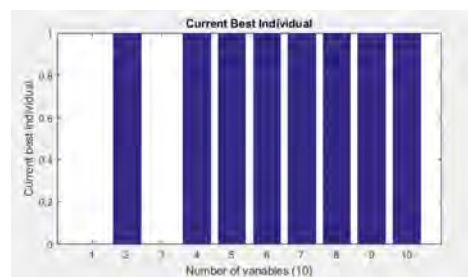


شکل ۱۰: بهترین ترکیب انتخاب شده از معیارها توسط ترکیب روش GWR با هسته گوسین و الگوریتم BPSO

همچنین برای هسته مکعبی سه‌گانه بهترین مقدار تابع برآش با  $0.22 \times 10^{-3}$  بدست آمد و ۸ معیار فاصله افقی تا رواناب، شاخص نرمال شده تفاوت پوشش گیاهی، شب، شاخص موقعیت توپوگرافی، شاخص رطوبت توپوگرافی، فاصله قائم تا رواناب، مدل رقومی ارتفاعی و منحنی رواناب به عنوان معیارهای مؤثر شناخته شد. شکل‌های (۱۱) و (۱۲) نتایج حاصل از ترکیب روش GWR با هسته مکعبی سه‌گانه و الگوریتم BPSO را نشان می‌دهد.

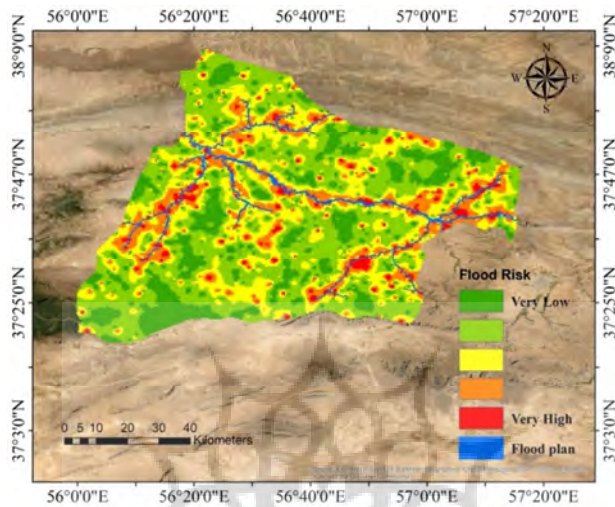


شکل ۱۱: بهترین مقدار و میانگین مقادیرتابع برآش برای ترکیب روش GWR با هسته مکعبی سه‌گانه و الگوریتم BPSO

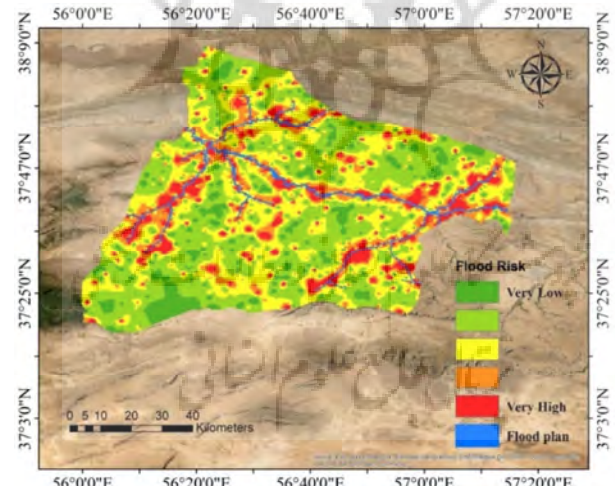


شکل ۱۲: بهترین ترکیب انتخاب شده از معیارها توسط ترکیب روش GWR با هسته مکعبی سه‌گانه و الگوریتم BPSO

شکل‌های (۱۳) و (۱۴) نشان‌دهنده نقشه خطر وقوع سیلاب در منطقه مورد مطالعه با استفاده از ترکیب روش GWR با دو هسته گوسین و مکعبی سه‌گانه و الگوریتم BPSO (بر اساس تأثیرات ترکیب بهینه معیارهای مؤثر) در ۵ کلاس برابر می‌باشد.



شکل ۱۳: نقشه خطر وقوع سیلاب با ترکیب روش GWR با هسته گوسین و الگوریتم BPSO



شکل ۱۴: نقشه خطر وقوع سیلاب با ترکیب روش GWR با هسته مکعبی سه‌گانه و الگوریتم BPSO  
مقادیر  $R^2$  و RMSE حاصل شده از ترکیب روش GWR دو هسته گوسین و مکعبی سه‌گانه و الگوریتم BPSO با استفاده از داده‌های آزمایش محاسبه شده‌اند که در جدول (۳) نشان داده شده است.

جدول ۳: مقادیر  $R^2$  و RMSE حاصل از ترکیب روش GWR با هسته گوسین و مکعبی سه‌گانه و الگوریتم BPSO

هسته	$R^2$	RMSE
گوسین	۰/۹۲۵۵	۰/۳۶۲۵
مکعبی سه‌گانه	۰/۹۹۷۸	۰/۲۱۴۲

جدول (۳) نشان می‌دهد که هسته مکعبی سه‌گانه دقت و سازگاری بالاتری را نسبت به هسته گوسین در پهنه‌بندی مناطق سیل‌خیز در منطقه موردمطالعه داشته است. جدول (۴)، انحراف استاندارد ضرایب رگرسیون ترکیب روش GWR با دو هسته گوسین و مکعبی سه‌گانه و الگوریتم BPSO را جهت محاسبه میزان تغییرات محلی و نایستایی مکانی نشان می‌دهد.

جدول ۴: انحراف استاندارد ضرایب ترکیب روش GWR با دو هسته گوسین و مکعبی سه‌گانه و الگوریتم BPSO

معیارها	هسته گوسین	هسته مکعبی سه‌گانه
جریان تجمعی	-	-
فاصله افقی تا رواناب	۰/۰۱۲	۰/۰۱۲
شاخص فورنیه اصلاح شده	۰/۰۷۱	-
شاخص نرمال‌شده تفاوت پوشش گیاهی	۰/۰۰۲۴	۰/۰۱۱
شیب	۰/۰۴۲	۰/۰۳۲
شاخص موقعیت توپوگرافی	۰/۱۲	۰/۰۲۱
شاخص رطوبت توپوگرافی	۰/۰۹۸	۰/۰۲۸
فاصله قائم تا رواناب	۰/۰۰۴۴	۰/۰۰۹۸
مدل رقومی ارتفاعی	۰/۰۷۷	۰/۰۳۵
منحنی رواناب	۰/۰۰۱۱	۰/۰۰۲۱

باتوجه به جدول (۴) در روش GWR با هسته گوسین، رابطه معیار شاخص موقعیت توپوگرافی و سیل‌خیزی منطقه با تغییر مکان بیشترین تغییر و رابطه معیار منحنی رواناب و سیل‌خیزی منطقه با تغییر مکان کمترین تغییر را می‌کند. همچنین برای هسته مکعبی سه‌گانه، رابطه معیار مدل رقومی ارتفاعی و سیل‌خیزی منطقه با تغییر مکان بیشترین تغییر و رابطه معیار منحنی رواناب و سیل‌خیزی منطقه با تغییر مکان کمترین تغییر را می‌کند. درنهایت از شاخص سراسری موران جهت تعیین خودهمبستگی مکانی باقیمانده‌های مدل GWR استفاده شد که از رابطه (۱۵) محاسبه می‌شود (فادرینگام<sup>۱</sup> و اوشان<sup>۲</sup>، ۲۰۱۶):

$$I = \frac{n \sum_{i=1}^n \sum_{j=1}^n W_{ij} (x_i - \bar{X})(x_j - \bar{X})}{S_0 \sum_{i=1}^n (x_i - \bar{X})^2} \quad (15)$$

که  $x_i$  و  $x_j$  به ترتیب مقادیر سیل‌خیزی نقاط تصادفی  $i$  و  $j$ ،  $W_{ij}$  وزن مکانی بین دو نقطه تصادفی  $i$  و  $j$ ،  $S_0$  مجموع کلیه وزن‌ها،  $\bar{X}$  متوسط مقادیر سیل‌خیزی برای نقاط تصادفی  $i$  و  $n$  تعداد کل نقاط تصادفی در منطقه موردمطالعه است. جدول (۵) مقادیر شاخص سراسری موران را برای باقیمانده‌های مدل GWR با هسته مکعبی سه‌گانه نشان می‌دهد. چنانچه فرآیند سرشکنی خطاهای بهدرستی انجام شود، می‌باید باقیمانده‌های مدل دارای توزیع مکانی تصادفی باشند و مقدار این آماره نزدیک به صفر شود که در این صورت نشان‌دهنده توانایی بالای GWR در مدل‌سازی خودهمبستگی مکانی مشاهدات می‌باشد.

<sup>1</sup> Fotheringham<sup>2</sup> Oshan

جدول ۵: مقایسه شاخص سراسری موران برای ترکیب روش GWR با دو هسته گوسین و مکعبی سه‌گانه و الگوریتم BPSO

P-Value	Z-Score	شاخص مورد انتظار	شاخص موران	نوع هسته
۰/۰۰۰	۱۶/۴۲۱	۰/۰۰۰۸۱۲	۰/۱۰۹	گوسین
۰/۰۰۰	۱۷/۱۰۰	۰/۰۰۰۸۱۲	۰/۰۸۲	مکعبی سه‌گانه

طبق جدول (۵) برای روش GWR با هسته مکعبی سه‌گانه، شاخص موران دارای مقدار نزدیک‌تری به صفر (نسبت به هسته گوسین) است که نشان از توانایی بالای هسته مکعبی سه‌گانه در مدل‌سازی خودهمبستگی مکانی مشاهدات دارد.

### نتیجه‌گیری

با بررسی مطالعات صورت‌پذیرفته مشخص گردید در پژوهش‌های پیشین، تحلیل مناسبی برای تعیین ترکیب بهینه معیارهای مؤثر در برآورد خطر سیل انجام نگرفته است و تنها از رویکردهای داده‌محور و دانشمحور جهت پنهانه‌بندی خطر سیل خیزی استفاده شده است (خسروی و همکاران، ۱۳۹۵؛ قوامی و محمدی‌نیا، ۱۳۹۶؛ شفابور<sup>۱</sup> و همکاران، ۲۰۱۷؛ شیاو<sup>۲</sup> و همکاران، ۲۰۱۷). بنابراین، در این پژوهش سعی شد بخشی از معیارهای مؤثر بر وقوع سیل شهرستان مانه و سملقان شناسایی شود و برای این کار از ترکیب تابع ادغام داده‌محور GWR با دو هسته گوسین و مکعبی سه‌گانه و الگوریتم بهینه‌سازی انبوه ذرات گستته (BPSO) استفاده شد. نتایج نشان داد که ترکیب روش GWR با هسته مکعبی سه‌گانه و الگوریتم BPSO نتایج بهتری را نسبت به هسته گوسین در اختیار قرار می‌دهد. مقدار  $R^2$  حاصل از ترکیب روش GWR با هسته گوسین و مکعبی سه‌گانه و الگوریتم BPSO به ترتیب برابر ۰/۹۲۵۵ و ۰/۹۹۷۸ بود. آمد که نشان‌دهنده سازگاری بالای هسته مکعبی سه‌گانه با داده‌های این پژوهش می‌باشد. همچنین مقدار RMSE حاصل از ترکیب روش GWR با هسته گوسین و مکعبی سه‌گانه و الگوریتم BPSO به ترتیب برابر ۰/۳۶۲۵ و ۰/۲۱۴۲ بود. به دست آمد که نشان‌دهنده دقیق‌تری هسته مکعبی سه‌گانه است. بر اساس نقشه مرجع سیل (شهرستان مانه و سملقان) اخذشده از سازمان جنگل‌ها و مراعت کشور، نتایج حاصل از روش GWR بیانگر مناسب‌بودن انتخاب مدل یادشده جهت پنهانه‌بندی مناطق سیل‌خیز در منطقه موردمطالعه بوده است. بر این اساس، نتایج نشان داد که مناطق با آسیب‌پذیری سیل زیاد در محدوده نقشه مرجع سیل برآورد شده‌اند که نیازمند اقدام‌های مناسب در راستای مدیریت و مهار سیلاب در این محدوده می‌باشد. علاوه بر این، بررسی کارهای مشابه در زمینه پنهانه‌بندی سیل نیز تایید‌کننده این نتایج (تأثیرات قابل توجه معیارهای مکانی بر وقوع سیل) می‌باشد (کعنی سادات<sup>۳</sup> و همکاران، ۲۰۱۹؛ خسروی و همکاران، ۱۳۹۵؛ قوامی و محمدی‌نیا، ۱۳۹۶). با توجه به موفقیت روش ادغام داده‌محور مکان‌مبنای کار برده شده در این تحقیق پیشنهاد می‌گردد برای پژوهش‌های آتی از دیگر روش‌های ادغام داده‌محور مکان‌مبنای مانند تخمین گشتاورهای تعمیم‌یافته برای مدل خود برگشت‌پذیر مکانی<sup>۴</sup> (GMM-SAR) و

<sup>1</sup> Shafapour

<sup>2</sup> Xiao

<sup>3</sup> Kanani-Sadat

<sup>4</sup> Generalized Method of Moments Estimation for Spatial Autoregressive

ماتریس نمایی مشخصات مکانی<sup>۱</sup> (MESS) و ترکیب GWR با شبکه‌های عصبی جهت مقایسه با مدل پیشنهادی پژوهش استفاده نمود.

## منابع

- خسروی خ بات؛ معروفی نیا ادريس؛ نوحانی ابراهیم؛ چی کامران (۱۳۹۵)، ارزیابی کارایی مدل رگرسیون لجستیک در تهیه نقشه حساسیت به موقع سیل، نشریه مرتضع و آبخیزداری (منابع طبیعی ایران)، شماره ۴، ۸۶۳-۸۷۶ DOI: 10.22059/JRWM.2017.61187
- روستایی شهرام؛ موسوی رمضان؛ علیزاده گرجی غلامرضا (۱۳۹۶)، تهیه نقشه پهنه‌بندی سیلاب حوضه آبخیز نکارود با استفاده از مدل GIS/RS و SCS-CN، پژوهش‌های ژئومورفولوژی کمی، ۶ (۱)، تابستان ۱۳۹۶، ۱۱۸-۱۰۸. URL: [http://www.geomorphologyjournal.ir/article\\_78078.html](http://www.geomorphologyjournal.ir/article_78078.html)
- شریفی پیچون محمد؛ امیدوار کمال؛ متذکر کوثر (۱۳۹۸)، استفاده از روش تحلیل خوش‌های و رگرسیون چندمتغیره در ارزیابی پتانسیل-سنگی سیلاب با تأکید بر پارامترهای هیدرولوژیکی (مورد مطالعه: حوضه آبخیز رودخانه مارون). مخاطرات محیط طبیعی، ۲۱(۸). DOI: 10.22111/JNEH.2018.22519.1336
- عفیفی محمدابراهیم (۱۳۹۸)، ارزیابی عوامل مؤثر بر مخاطرات سیلاب و تهیه نقشه حساسیت و موقع آن با استفاده از مدل آنتربوی شانون (مطالعه موردی: حوضه آبخیز رودخانه فیروزآباد)، مدیریت مخاطرات طبیعی، دوره ۶، شماره ۲، تابستان ۹۸، صفحه ۱۶۷-۱۴۹. DOI: 10.22059/JHSCI.2019.279717.462
- فیضی زهرا؛ کشتکار امیررضا؛ ملکیان آرش؛ قاسمیه هدی (۱۳۹۵)، پهنه‌بندی اراضی مستعد پخش سیلاب با استفاده از مدل تحلیل سلسله‌مراتبی فازی (مطالعه موردی: جنوب دشت کاشان)، نشریه علوم آب‌و‌خاک - علوم و فنون کشاورزی و منابع طبیعی جلد ۲۰، شماره ۷۶، تابستان ۱۳۹۵، ۱۲۹-۱۴۱. URL: <http://jstnar.iut.ac.ir/article-1-3339-fa.html>
- قومی زینب؛ محمدی‌نیا علی (۱۳۹۶)، پیش‌بینی مکانی مناطق سیل‌خیز با استفاده از سیستم اطلاعات مکانی، چهارمین کنفرانس ملی کاربرد سامانه اطلاعات مکانی GIS در صنعت آب و برق، اراک، وزارت نیرو. URL: <https://civilica.com/doc/711268>
- محمدوزاده حسن؛ باکوبی مائده (۱۳۹۷)، پهنه‌بندی سیلاب با استفاده از تحلیل فازی (مطالعه موردی: شهر ساری). مخاطرات محیط طبیعی، ۷(۱۸)، ۵۱-۶۸. DOI: 10.22111/JNEH.2018.19885.1238
- Abed, K.A., Ahmad, A.A., (2020), The best parameters selection using pso algorithm to solving for ito system by new iterative technique. Indonesian Journal of Electrical Engineering and Computer Science, 18(3), pp.1638-1645. <https://doi.org/10.1103/PhysRevD.90.112016>
- Aghbashlo, M., Tabatabaei, M., Nadian, M.H., Davoodnia, V. and Soltanian, S., (2019), Prognostication of lignocellulosic biomass pyrolysis behavior using ANFIS model tuned by PSO algorithm. Fuel, 253, pp.189-198. <https://doi.org/10.1016/j.fuel.2019.04.169>
- Alam, A., Ahmed, B., Sammonds, P., (2020), Flash flood susceptibility assessment using the parameters of drainage basin morphometry in SE Bangladesh. Quaternary International. <https://doi.org/10.1016/j.quaint.2020.04.047>
- Ardiansyah, A., Sumunar, D.R.S., (2020), Flood Vulnerability Mapping Using Geographic Information System (GIS) in Gajah Wong Sub Watershed, Yogyakarta County Province. Geosfera Indonesia, 5(1), pp.47-64. <https://doi.org/10.19184/geosi.v5i1.9959>
- Beheshti, Z., (2020), A time-varying mirrored S-shaped transfer function for binary particle swarm optimization. Information Sciences, 512, pp.1503-1542. <https://doi.org/10.1016/j.ins.2019.10.029>
- Eini, M., Kaboli, H.S., Rashidian, M., Hedayat, H., (2020), Hazard and vulnerability in urban flood risk mapping: Machine learning techniques and considering the role of urban districts". International Journal of Disaster Risk Reduction, p.101687. <https://doi.org/10.1016/j.ijdrr.2020.101687>
- Fotheringham, A.S., Oshan, T.M., (2016), Geographically weighted regression and multicollinearity: dispelling the myth. Journal of Geographical Systems, 18(4), pp.303-329. <https://doi.org/10.1007/s10109-016-0239-5>
- Guevara, J., Zadrozny, B., Buoro, A., Lu, L., Tolle, J., Limbeck, J., Wu, M. and Hohl, D., (2018), A hybrid data-driven and knowledge-driven methodology for estimating the effect of completion parameters on the cumulative production of

- horizontal wells. In SPE Annual Technical Conference and Exhibition. Society of Petroleum Engineers. <https://doi.org/10.2118/191446-MS>
- Hudson, P., Botzen, W.W., (2019), Cost-benefit analysis of flood-zoning policies: A review of current practice. Wiley Interdisciplinary Reviews: Water, 6(6), p.e1387. <https://doi.org/10.1002/wat2.1387>
- Hutahaean, S., (2019), Correlation of Weighting Coefficient at Weighted Total Acceleration with Rayleigh Distribution and with Pierson-Moskowitz Spectrum. International Journal of Advanced Engineering Research and Science, 6(3). DOI: 10.22161/ijaers.6.3.33
- Jancewicz, K., Migoń, P. and Kasprzak, M., (2019), Connectivity patterns in contrasting types of tableland sandstone relief revealed by Topographic Wetness Index". Science of The Total Environment, 656, pp.1046-1062. <https://doi.org/10.1016/j.scitotenv.2018.11.467>
- Kanani-Sadat, Y., Arabsheibani, R., Karimipour, F., Nasseri, M., (2019), A new approach to flood susceptibility assessment in data-scarce and ungauged regions based on GIS-based hybrid multi-criteria decision-making method". Journal of Hydrology, 572, pp.17-31. <https://doi.org/10.1016/j.jhydrol.2019.02.034>
- Khosravi, K., Nohani, E., Maroufinia, E., Pourghasemi, H.R., (2016), A GIS-based flood susceptibility assessment and its mapping in Iran: a comparison between frequency ratio and weights-of-evidence bivariate statistical models with a multi-criteria decision-making technique. Nat. Hazards 83 (2), 947–987. <https://doi.org/10.1007/s11069-016-2357-2>
- Murray, A.T., Xu, J., Baik, J., Burtner, S., Cho, S., Noi, E., Pludow, B.A. and Zhou, E., (2020), Overview of Contributions in Geographical Analysis: Waldo Tobler". Geographical Analysis.
- Oshan, T. M., Li, Z., Kang, W., Wolf, L. J. Fotheringham, A.S., (2019), MGWR: A Python implementation of multiscale geographically weighted regression for investigating process spatial heterogeneity and scale, ISPRS International Journal of Geo-Information, 8 (6), p. 269. <https://doi.org/10.3390/ijgi8060269>
- Papaioannou, G., Vasilades, L., Loukas, A., (2015), Multi-criteria analysis framework for potential flood-prone areas mapping. Water resources management, 29(2), 399-418. <https://doi.org/10.1007/s11269-014-0817-6>
- Pourghasemi, H.R., Razavi-Termeh, S.V., Kariminejad, N., Hong, H. and Chen, W., (2020), An assessment of metaheuristic approaches for flood assessment. Journal of Hydrology, 582, p.124536. <https://doi.org/10.1016/j.jhydrol.2019.124536>
- Saa-Requejo, A., Martín-Sotoca, J.J., Valencia, J.L., Rodriguez-Sinobas, L., Tarquis, A.M., (2019), Modified Fournier index as a new metric of integrated degradability index ". In Geophysical Research Abstracts (Vol. 21).
- Shafapour, M., Shabanihttps, F., Neamah Jebur, M., Honghttps, H., Chenhttps, W., Xie, X., (2017), GIS-based spatial prediction of flood-prone areas using standalone frequency ratio, logistic regression, the weight of evidence and their ensemble techniques, Geomatics, Natural Hazards and Risk, 8:2, 1538-1561. DOI: 10.1080/19475705.2017.1362038
- Vojtek, M., Vojteková, J., (2019), Flood susceptibility mapping on a national scale in Slovakia using the analytical hierarchy process. Water, 11(2), p.364. <https://doi.org/10.3390/w11020364>
- Wang, X., Liu, H., (2019), A Knowledge-and Data-Driven Soft Sensor Based on Deep Learning for Predicting the Deformation of an Air Preheater Rotor. IEEE Access, 7, pp.159651-159660. <https://doi.org/10.1109/ACCESS.2019.2950661>
- Wu, D., (2020), Spatially and Temporally Varying Relationships between Ecological Footprint and Influencing Factors in China's Provinces Using Geographically Weighted Regression (GWR). Journal of Cleaner Production, p.121089. <https://doi.org/10.1016/j.jclepro.2020.121089>
- Xiao, Y., Yi, S., Tang, Z., (2017), Integrated flood hazard assessment based on spatial ordered weighted averaging method considering spatial heterogeneity of risk preference. Sci. Total Environ, 599, 1034. <https://doi.org/10.1016/j.scitotenv.2017.04.2>

## References

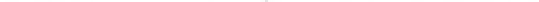
### References (in Persian)

- Afifi, M., (2019), Flood Hazards Susceptibility Map and its Occurrence Probability using Shannon Entropy Model (Case Study: Firoozabad River Basin). *Environmental Management Hazards*, 6(2), 149-167. DOI: 10.22059/JHSCI.2019.279717.462. [In Persian]
- Feyzi, Z., Keshtkar, A., Malekian, A., Ghasemieh, H., (2016), Fuzzy AHP Application for Flood Spreading Site Selection (Case Study: South of Kashan Plain). *Journal of Water and Soil Science*; 20 (76):129-141. URL: <http://jstnar.iut.ac.ir/article-1-3339-fa.html>. [In Persian]
- Ghavami, Z., Mohamadinia, A., (2017), Spatial forecasting of flood-prone areas using Geographic Information System (GIS). 4th national conference on Application of GIS in Water and Electric Industries, ARAK-2017- 13 & 14 Dec. <https://civilica.com/doc/711268>. [In Persian]
- Khosravi, K., Marufinia, E., Nohani, E., Chapy, K., (2017), Evaluation of Logistic Regression Efficiency in Mapping Flood Susceptibility. *Journal of Range and Watershed Management*, 69(4), 863-876. DOI: 10.22059/JRWM.2017.61187. [In Persian]
- Mahmoudzadeh, H., Bakoi, M., (2018), Flood zoning using fuzzy analysis (case study: Sari city). *Journal of Natural Environmental Hazards*, 7(18), 51-68. DOI: 10.22111/JNEH.2018.19885.1238. [In Persian]
- Roustaei, Sh., Mousavi, R., Alizade Gorji, GH., (2018), Watershed Flood Zoning Map Preparation Using CN and GIS/RS Methods: A Case Study on Nekarood. *Quantitative Geomorphological Research*, 6(1), 108-118. [http://www.geomorphologyjournal.ir/article\\_78078.html](http://www.geomorphologyjournal.ir/article_78078.html). [In Persian]
- Sharifi Paichoon, M., Omidvar, K., Motazaker, K., (2019), Assessment of flooding using cluster analysis and multivariable regression methods with emphasis on hydro geomorphological parameters (Case study: Maroon catchment). *Journal of Natural Environmental Hazards*, 8(21), 75-92. DOI: 10.22111/JNEH.2018.22519.1336. [In Persian]

### References (in English)

- Abed, K.A., Ahmad, A.A., (2020), The best parameters selection using PSO algorithm to solving for ito system by new iterative technique. *Indonesian Journal of Electrical Engineering and Computer Science*, 18(3), pp.1638-1645. <https://doi.org/10.1103/PhysRevD.90.112016>
- Aghbashlo, M., Tabatabaei, M., Nadian, M.H., Davoodnia, V. and Soltanian, S., (2019), Prognostication of lignocellulosic biomass pyrolysis behavior using ANFIS model tuned by PSO algorithm. *Fuel*, 253, pp.189-198. <https://doi.org/10.1016/j.fuel.2019.04.169>
- Alam, A., Ahmed, B., Sammonds, P., (2020), Flash flood susceptibility assessment using the parameters of drainage basin morphometry in SE Bangladesh. *Quaternary International*. <https://doi.org/10.1016/j.quaint.2020.04.047>
- Ardiansyah, A., Sumunar, D.R.S., (2020), Flood Vulnerability Mapping Using Geographic Information System (GIS) in Gajah Wong Sub Watershed, Yogyakarta County Province. *Geosfera Indonesia*, 5(1), pp.47-64. <https://doi.org/10.19184/geosi.v5i1.9959>
- Beheshti, Z., (2020), A time-varying mirrored S-shaped transfer function for binary particle swarm optimization. *Information Sciences*, 512, pp.1503-1542. <https://doi.org/10.1016/j.ins.2019.10.029>
- Eini, M., Kaboli, H.S., Rashidian, M., Hedayat, H., (2020), Hazard and vulnerability in urban flood risk mapping: Machine learning techniques and considering the role of urban districts". *International Journal of Disaster Risk Reduction*, p.101687. <https://doi.org/10.1016/j.ijdrr.2020.101687>
- Fotheringham, A.S., Oshan, T.M., (2016), Geographically weighted regression and multicollinearity: dispelling the myth. *Journal of Geographical Systems*, 18(4), pp.303-329. <https://doi.org/10.1007/s10109-016-0239-5>
- Guevara, J., Zadrozy, B., Buoro, A., Lu, L., Tolle, J., Limbeck, J., Wu, M. and Hohl, D., (2018), A hybrid data-driven and knowledge-driven methodology for estimating the effect of completion parameters on the cumulative production of horizontal wells. In SPE Annual Technical Conference and Exhibition. Society of Petroleum Engineers. <https://doi.org/10.2118/191446-MS>
- Hudson, P., Botzen, W.W., (2019), Cost-benefit analysis of flood-zoning policies: A review of current practice. *Wiley Interdisciplinary Reviews: Water*, 6(6), p.e1387. <https://doi.org/10.1002/wat2.1387>
- Hutahaean, S., (2019), Correlation of Weighting Coefficient at Weighted Total Acceleration with Rayleigh Distribution and with Pierson-Moskowitz Spectrum. *International Journal of Advanced Engineering Research and Science*, 6(3). DOI: 10.22161/ijaers.6.3.33
- Jancewicz, K., Migoń, P. and Kasprzak, M., (2019), Connectivity patterns in contrasting types of tableland sandstone relief revealed by Topographic Wetness Index". *Science of The Total Environment*, 656, pp.1046-1062. <https://doi.org/10.1016/j.scitotenv.2018.11.467>

- Kanani-Sadat, Y., Arabsheibani, R., Karimipour, F., Nasseri, M., (2019), A new approach to flood susceptibility assessment in data-scarce and ungauged regions based on GIS-based hybrid multi-criteria decision-making method". Journal of Hydrology, 572, pp.17-31. <https://doi.org/10.1016/j.jhydrol.2019.02.034>
- Khosravi, K., Nohani, E., Maroufinia, E., Pourghasemi, H.R., (2016), A GIS-based flood susceptibility assessment and its mapping in Iran: a comparison between frequency ratio and weights-of-evidence bivariate statistical models with a multi-criteria decision-making technique. Nat. Hazards 83 (2), 947–987. <https://doi.org/10.1007/s11069-016-2357-2>
- Murray, A.T., Xu, J., Baik, J., Burtner, S., Cho, S., Noi, E., Pludow, B.A. and Zhou, E., (2020), Overview of Contributions in Geographical Analysis: Waldo Tobler". Geographical Analysis.
- Oshan, T. M., Li, Z., Kang, W., Wolf, L. J. Fotheringham, A.S., (2019), MGWR: A Python implementation of multiscale geographically weighted regression for investigating process spatial heterogeneity and scale, ISPRS International Journal of Geo-Information, 8 (6), p. 269. <https://doi.org/10.3390/ijgi8060269>
- Papaioannou, G., Vasilades, L., Loukas, A., (2015), Multi-criteria analysis framework for potential flood-prone areas mapping. Water resources management, 29(2), 399-418. <https://doi.org/10.1007/s11269-014-0817-6>
- Pourghasemi, H.R., Razavi-Termeh, S.V., Kariminejad, N., Hong, H. and Chen, W., (2020), An assessment of metaheuristic approaches for flood assessment. Journal of Hydrology, 582, p.124536. <https://doi.org/10.1016/j.jhydrol.2019.124536>
- Saa-Requejo, A., Martin-Sotoca, J.J., Valencia, J.L., Rodriguez-Sinobas, L., Tarquis, A.M., (2019), Modified Fournier index as a new metric of integrated degradability index ". In Geophysical Research Abstracts (Vol. 21).
- Shafapour, M., Shabanihttps, F., Neamah Jebur, M., Honghttps, H., Chenhttps, W., Xie, X., (2017), GIS-based spatial prediction of flood-prone areas using standalone frequency ratio, logistic regression, the weight of evidence and their ensemble techniques, Geomatics, Natural Hazards and Risk, 8:2, 1538-1561. DOI: 10.1080/19475705.2017.1362038
- Vojtek, M., Vojteková, J., (2019), Flood susceptibility mapping on a national scale in Slovakia using the analytical hierarchy process. Water, 11(2), p.364. <https://doi.org/10.3390/w11020364>
- Wang, X., Liu, H., (2019), A Knowledge-and Data-Driven Soft Sensor Based on Deep Learning for Predicting the Deformation of an Air Preheater Rotor. IEEE Access, 7, pp.159651-159660. <https://doi.org/10.1109/ACCESS.2019.2950661>
- Wu, D., (2020), Spatially and Temporally Varying Relationships between Ecological Footprint and Influencing Factors in China's Provinces Using Geographically Weighted Regression (GWR). Journal of Cleaner Production, p.121089. <https://doi.org/10.1016/j.jclepro.2020.121089>
- Xiao, Y., Yi, S., Tang, Z., (2017), Integrated flood hazard assessment based on spatial ordered weighted averaging method considering spatial heterogeneity of risk preference. Sci. Total Environ, 599, 1034. <https://doi.org/10.1016/j.scitotenv.2017.04.2>.



پژوهشگاه علوم انسانی و مطالعات فرهنگی  
برگال جامع علوم انسانی